

PROPAGAÇÃO E RADIAÇÃO DE ONDAS ELECTROMAGNÉTICAS (PROE)

CONCEITOS FUNDAMENTAIS (Revisão)

Custódio Peixeiro

Novembro 2021

Este documento foi concebido para servir de guia nas aulas e apenas como tal deverá ser utilizado no estudo da matéria.

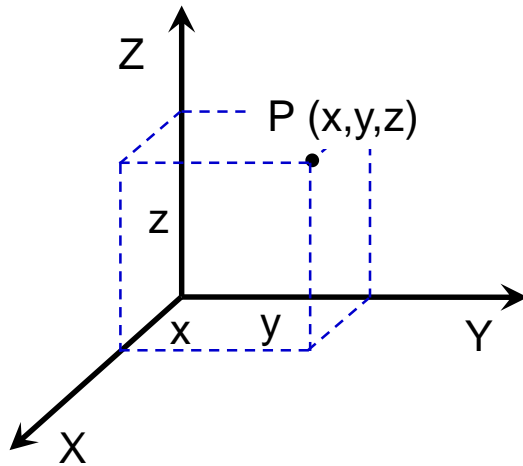
- Notação
- Unidades e Constantes
- Prefixos de Unidades
- Letras Gregas
- Equações de Maxwell
- Relações Constitutivas
- Identidades Vetoriais e Teoremas Importantes
- Condições nas Fronteiras
- Marcos Históricos (OE e Aplicações)
- Espectro Eletromagnético

- Vetor \mathbf{E} ou \underline{E}
- Versor $\hat{\mathbf{x}}$ ou $\hat{\underline{x}}$
- Tensor $\underline{\underline{E}}$
- Amplitude Complexa \bar{E} ($\overline{\mathbf{E}}$ ou $\overline{\underline{E}}$)
- Produto interno $\mathbf{A} \cdot \mathbf{B}$
- Produto externo $\mathbf{A} \times \mathbf{B}$
- Operadores Diferenciais (*Nabla* $\nabla = \hat{\mathbf{x}} \frac{\partial}{\partial x} + \hat{\mathbf{y}} \frac{\partial}{\partial y} + \hat{\mathbf{z}} \frac{\partial}{\partial z}$)
 - Gradiente ∇A
 - Divergência $\nabla \cdot \mathbf{A}$
 - Rotacional $\nabla \times \mathbf{A}$
 - Laplaciano $\nabla^2 \mathbf{A}$

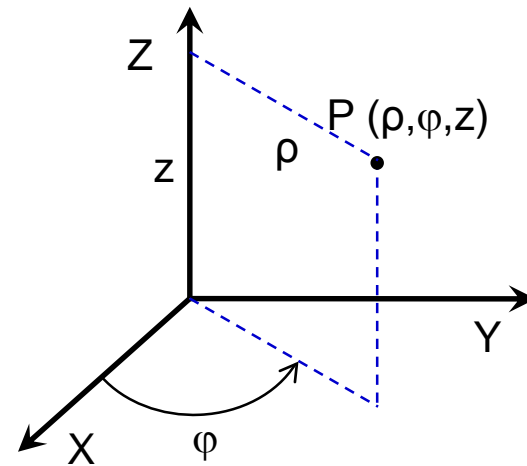
Sistemas de Coordenadas

4/22

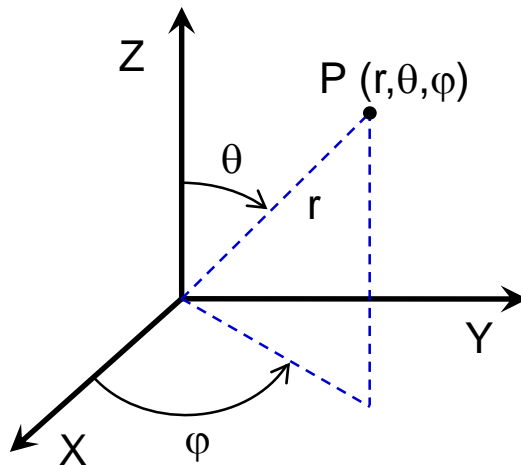
Retangulares (x,y,z)



Cilíndricas (ρ,ϕ,z)



Esféricas (r,θ,ϕ)



- Sistema MKSA racionalizado (subconjunto de SI)
- Permeabilidade (magnética) do vácuo

$$\mu_0 = 4\pi \times 10^{-7} \text{ H.m}^{-1}$$

- Permittividade (elétrica) do vácuo

$$\epsilon_0 = \frac{10^{-9}}{36\pi} \text{ F.m}^{-1}$$

- Velocidade da luz no vácuo

$$c_0 = \frac{1}{\sqrt{\mu_0 \epsilon_0}} = 3 \times 10^8 \text{ m.s}^{-1}$$

Prefixos de Unidades

6/22

10^{-3}	mili (m)	10^{+3}	kilo (k)
10^{-6}	micro (μ)	10^{+6}	Mega (M)
10^{-9}	nano (n)	10^{+9}	Giga (G)
10^{-12}	pico (p)	10^{+12}	Tera (T)
10^{-15}	femto (f)	10^{+15}	Peta (P)

Letras Gregas

7/22

Δ - Delta

Φ - Fi

Γ - Gama

Λ - Lambda

Ω - Omega

Θ - Teta

α - Alfa

β - Beta

χ - Ki

δ - Delta

ε - Épsilon

γ - Gama

η - Eta

ϕ, φ - Fi

ι - Iota

λ - Lambda

μ - Mu

ν - Nu

π - Pi

θ - Teta

ρ - Rô

σ - Sigma

τ - Tau

υ - Úpsilon

ω - Omega

ξ - Csi

ψ - Psi

ζ - Zeta

Equações de Maxwell (1)

8/22

$$\left\{ \begin{array}{l} \nabla \times \mathbf{H} = \mathbf{J} + \frac{\partial \mathbf{D}}{\partial t} \rightarrow \text{Corrente de Deslocamento} \\ \nabla \times \mathbf{E} = - \frac{\partial \mathbf{B}}{\partial t} \\ \nabla \cdot \mathbf{D} = \rho \\ \nabla \cdot \mathbf{B} = 0 \end{array} \right.$$

Lei de Ampere

Lei de Faraday

Lei de Gauss

E – Campo Elétrico [V.m⁻¹]

H – Campo Magnético [A.m⁻¹]

D – Deslocamento Elétrico [C.m⁻²]

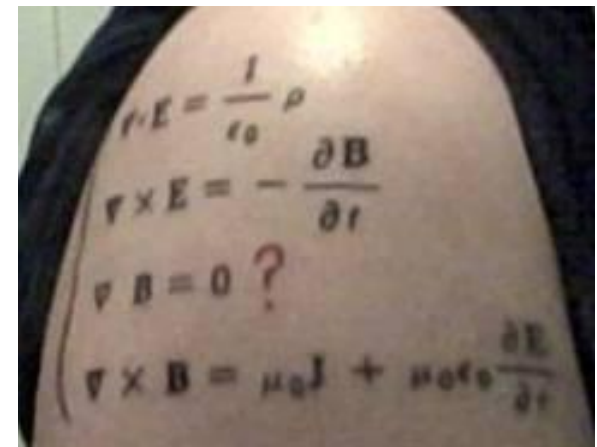
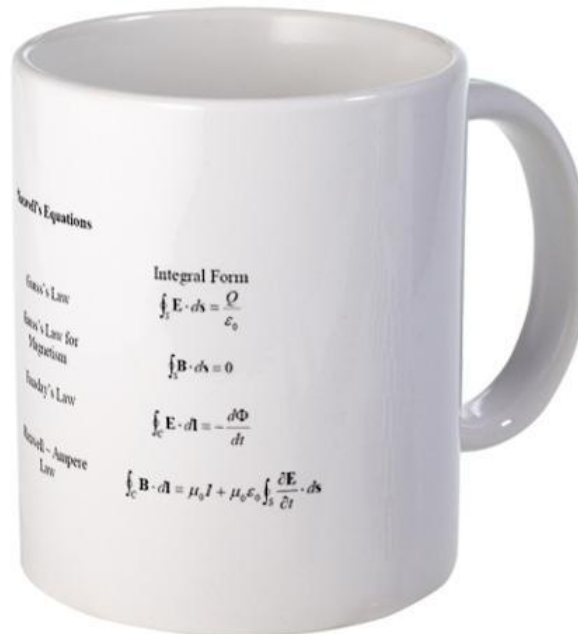
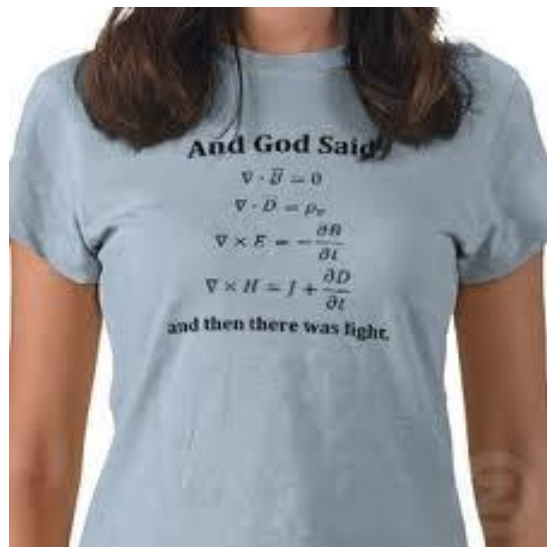
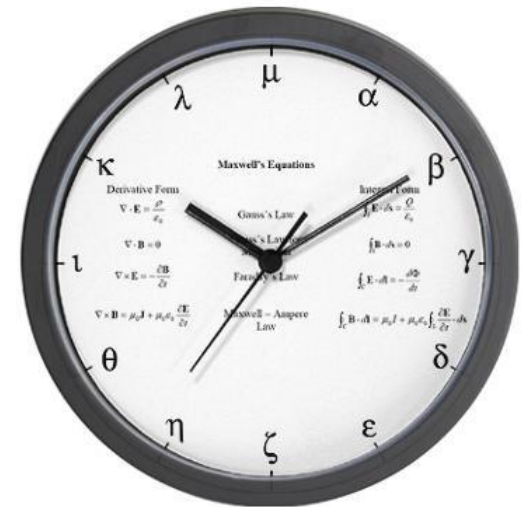
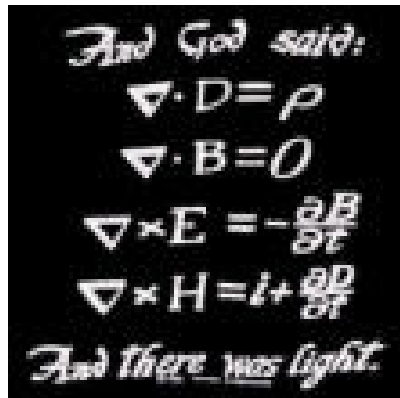
B – Indução Magnética [T = Wb.m⁻²]

J – Densidade de Corrente [A.m⁻²]

ρ – Densidade de Carga [C.m⁻³]

Equações de Maxwell (2)

9/22



Relações Constitutivas (1)

10/22

$$\mathbf{D} = \mathcal{F}(\mathbf{E}, \mathbf{B}) \quad \mathbf{H} = \mathcal{G}(\mathbf{E}, \mathbf{B}) \quad \mathbf{J} = \mathcal{H}(\mathbf{E}, \mathbf{B})$$

As equações de Maxwell, as relações constitutivas e a força de Lorentz

$$\mathbf{F} = q(\mathbf{E} + \mathbf{v} \times \mathbf{B})$$

mostram que os campos fundamentais (básicos) são **E** e **B**. Excepto para o vácuo, **D** e **H** dependem de um modelo do meio.

$$\begin{array}{llll} \mathbf{D} = \epsilon \mathbf{E} = \epsilon_0 \mathbf{E} + \mathbf{P} & \mathbf{P} = \epsilon_0 \chi_e \mathbf{E} & \epsilon = \epsilon_0 \epsilon_r & \epsilon_r = 1 + \chi_e \\ \mathbf{B} = \mu \mathbf{H} = \mu_0 (\mathbf{H} + \mathbf{M}) & \mathbf{M} = \chi_m \mathbf{H} & \mu = \mu_0 \mu_r & \mu_r = 1 + \chi_m \end{array}$$

P – (vetor) Polarização elétrica

χ_e – suscetibilidade elétrica

M – (vetor) Magnetização

χ_m – suscetibilidade magnética

Vamos estudar meios simples: lineares, homogêneos, isotrópicos, invariáveis no tempo.

Um meio é caracterizado macroscopicamente por (ϵ, μ, σ) .

$$\mathbf{D} = \epsilon \mathbf{E} \quad \mathbf{B} = \mu \mathbf{H} \quad \mathbf{J} = \sigma \mathbf{E}$$

$$\epsilon = \epsilon_r \epsilon_0 \quad \epsilon_r - \text{Permitividade elétrica relativa (ao vácuo)}$$

$$\mu = \mu_r \mu_0 \quad \mu_r - \text{Permeabilidade magnética relativa (ao vácuo)}$$

Os meios podem ser:

- Não homogêneos
- Anisotrópicos – ϵ e/ou μ são tensores
- Variáveis no tempo

Existem meios (naturais e **artificiais**) com relações constitutivas mais complexas

Exemplo 1 – Meios anisotrópicos

$$\underset{\approx}{\mathbf{D}} = \underset{\approx}{\boldsymbol{\varepsilon}} \cdot \mathbf{E} \quad \underset{\approx}{\boldsymbol{\varepsilon}} = \begin{bmatrix} \varepsilon_{xx} & \varepsilon_{xy} & \varepsilon_{xz} \\ \varepsilon_{yx} & \varepsilon_{yy} & \varepsilon_{yz} \\ \varepsilon_{zx} & \varepsilon_{zy} & \varepsilon_{zz} \end{bmatrix} \quad \mathbf{D} \text{ e } \mathbf{E} \text{ não são paralelos}$$

Muitas vezes é possível escolher um sistema de eixos de referência que tornam o tensor ε diagonal

$$\underset{\approx}{\boldsymbol{\varepsilon}} = \begin{bmatrix} \varepsilon_{xx} & 0 & 0 \\ 0 & \varepsilon_{yy} & 0 \\ 0 & 0 & \varepsilon_{zz} \end{bmatrix} \quad \begin{array}{l} \varepsilon_{xx} \neq \varepsilon_{yy} \neq \varepsilon_{zz} - \text{meios biaxiais} \\ \varepsilon_{xx} = \varepsilon_{yy} \neq \varepsilon_{zz} - \text{meios uniaxial (eixo óptico z)} \\ \varepsilon_{xx} \neq \varepsilon_{yy} = \varepsilon_{zz} - \text{meios uniaxial (eixo óptico x)} \\ \varepsilon_{xx} = \varepsilon_{zz} \neq \varepsilon_{yy} - \text{meios uniaxial (eixo óptico y)} \end{array}$$

Há meios magneticamente anisotrópicos $\mathbf{B} = \underset{\approx}{\boldsymbol{\mu}} \cdot \mathbf{H}$

Há meios que são simultaneamente eletricamente anisotrópicos e magneticamente anisotrópicos

A anisotropia existe em meios materiais naturais e artificiais

Exemplos

- Madeira (anisotropia dielétrica)
- Safira, quartzo e outros cristais (anisotropia dielétrica)
- (Alguns) Substratos usados no fabrico de circuitos impressos (FR4, por exemplo) (anisotropia dielétrica)
- Ferrites (anisotropia magnética)
- Ionosfera terrestre (anisotropia elétrica e magnética)
- Existem actualmente muito materiais artificiais que exibem anisotropia dielétrica, anisotropia magnética ou ambas, bem como valores de ϵ_r e/ou μ_r negativos (numa banda estreita)

Exemplos de meios com relações constitutivas (ainda) mais complexas

$$\left. \begin{aligned} \mathbf{D} &= \underset{\approx}{\boldsymbol{\varepsilon}} \cdot \mathbf{E} + \underset{\approx}{\boldsymbol{\xi}} \cdot \mathbf{H} \\ \mathbf{B} &= \underset{\approx}{\boldsymbol{\zeta}} \cdot \mathbf{E} + \underset{\approx}{\boldsymbol{\mu}} \cdot \mathbf{H} \end{aligned} \right\} \text{Meios bi-anisotrópicos}$$

Se $(\varepsilon, \xi, \zeta, \mu)$ forem escalares os meios designam-se por bi-isotrópicos

$$\nabla \cdot \nabla \times \mathbf{A} = 0$$

$$\nabla \times (\nabla \mathbf{A}) = 0$$

$$\nabla \times \nabla \times \mathbf{A} = \nabla \nabla \cdot \mathbf{A} - \nabla^2 \mathbf{A}$$

$$\int_V \nabla \cdot \mathbf{A} \, dV = \oint_S \mathbf{A} \cdot d\mathbf{S}$$

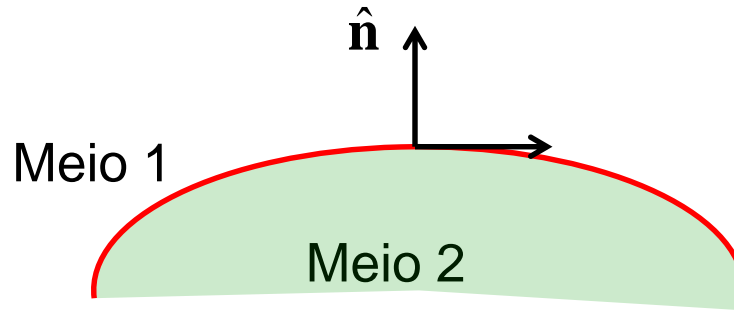
Teorema da Divergência

$$\int_S (\nabla \times \mathbf{A}) \cdot d\mathbf{S} = \oint_C \mathbf{A} \cdot d\mathbf{l}$$

Teorema de Stokes

Condições nas Fronteiras (1)

16/22



$$\hat{n} \times (\mathbf{E}_1 - \mathbf{E}_2) = \mathbf{0}$$

$$\hat{n} \times (\mathbf{H}_1 - \mathbf{H}_2) = \mathbf{J}_s$$

\mathbf{J}_s – Densidade de corrente linear superficial

$$\hat{n} \cdot (\mathbf{D}_1 - \mathbf{D}_2) = \rho_s$$

ρ_s – Densidade de carga superficial

$$\hat{n} \cdot (\mathbf{B}_1 - \mathbf{B}_2) = 0$$

Condições nas Fronteiras (2)

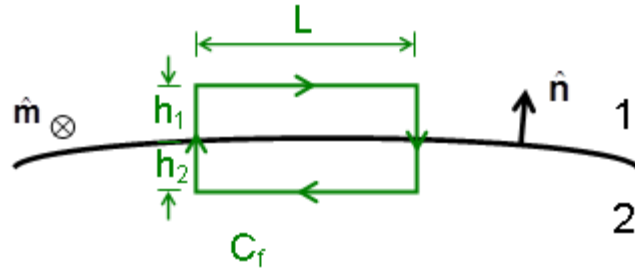
17/22

Componentes Tangenciais

$$A = L (h_1 + h_2)$$

$$L, h_1, h_2 \ll$$

$$d\mathbf{S} = \hat{\mathbf{m}} dA$$



- C_f é o contorno fechado que define A
- Lados de dimensão L paralelos à interface 1-2
- $\frac{\partial \mathbf{B}}{\partial t}$ finito

Teorema de Stokes

+

Lei de Faraday

$$\oint_{C_f} \mathbf{E} \cdot d\mathbf{l} = \iint_S (\nabla \times \mathbf{E}) \cdot d\mathbf{S} = \iint_S \left(-\frac{\partial \mathbf{B}}{\partial t} \right) \cdot d\mathbf{S}$$

$$\lim_{h_1, h_2 \rightarrow 0} \oint_{C_f} \mathbf{E} \cdot d\mathbf{l} = L (E_{1t} - E_{2t}) = \lim_{h_1, h_2 \rightarrow 0} \iint_S \left(-\frac{\partial \mathbf{B}}{\partial t} \right) \cdot d\mathbf{S} = 0 \quad E_{1t} = E_{2t}$$

No caso do campo magnético

$$\hat{\mathbf{n}} \times (\mathbf{E}_1 - \mathbf{E}_2) = 0$$

$$\oint_{C_f} \mathbf{H} \cdot d\mathbf{l} = \iint_S (\nabla \times \mathbf{H}) \cdot d\mathbf{S} = \iint_S \left(\mathbf{J} + \frac{\partial \mathbf{D}}{\partial t} \right) \cdot d\mathbf{S}$$

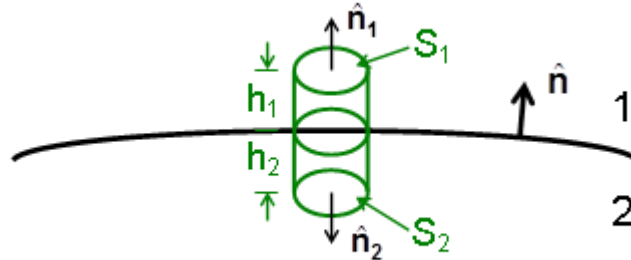
$$\hat{\mathbf{n}} \times (\mathbf{H}_1 - \mathbf{H}_2) = \mathbf{J}_s$$

Condições nas Fronteiras (3)

18/22

Componentes Normais

$$\hat{n} = \hat{n}_1 = -\hat{n}_2$$



- S_3 é a superfície lateral do cilindro (pequeno)
- $S = S_1 + S_2 + S_3$ define o volume V

Teorema da Divergência

+

$$\oint_S \mathbf{B} \cdot d\mathbf{S} = \iiint_V \nabla \cdot \mathbf{B} dV = 0$$

Lei de Gauss

$$\oint_S \mathbf{B} \cdot d\mathbf{S} = \iint_{S_1} \mathbf{B} \cdot \hat{n}_1 dS + \iint_{S_2} \mathbf{B} \cdot \hat{n}_2 dS + \iint_{S_3} \mathbf{B} \cdot \hat{n}_3 dS = 0 \quad \lim_{h_1, h_2 \rightarrow 0} \iint_{S_3} \mathbf{B} \cdot \hat{n}_3 dS = 0$$

$$B_{1n} = B_{2n}$$

$$\hat{n} \cdot (\mathbf{B}_1 - \mathbf{B}_2) = 0$$

No caso do campo elétrico

$$\oint_S \mathbf{D} \cdot d\mathbf{S} = \iiint_V \nabla \cdot \mathbf{D} dV = \rho$$

$$D_{1n} - D_{2n} = \rho_S$$

$$\hat{n} \cdot (\mathbf{D}_1 - \mathbf{D}_2) = \rho_S$$

Casos Particulares

Dielétricos Perfeitos ($\mathbf{J}_s = \rho_s = 0$)

$$\hat{\mathbf{n}} \times (\mathbf{E}_1 - \mathbf{E}_2) = \mathbf{0} \rightarrow \mathbf{E}_{1t} = \mathbf{E}_{2t} \rightarrow \frac{\mathbf{D}_{1t}}{\epsilon_1} = \frac{\mathbf{D}_{2t}}{\epsilon_2}$$

$$\hat{\mathbf{n}} \times (\mathbf{H}_1 - \mathbf{H}_2) = \mathbf{0} \rightarrow \mathbf{H}_{1t} = \mathbf{H}_{2t} \rightarrow \frac{\mathbf{B}_{1t}}{\mu_1} = \frac{\mathbf{B}_{2t}}{\mu_2}$$

$$\hat{\mathbf{n}} \cdot (\mathbf{D}_1 - \mathbf{D}_2) = 0 \rightarrow \mathbf{D}_{1n} = \mathbf{D}_{2n} \rightarrow \epsilon_1 \mathbf{E}_{1n} = \epsilon_2 \mathbf{E}_{2n}$$

$$\hat{\mathbf{n}} \cdot (\mathbf{B}_1 - \mathbf{B}_2) = 0 \rightarrow \mathbf{B}_{1n} = \mathbf{B}_{2n} \rightarrow \mu_1 \mathbf{H}_{1n} = \mu_2 \mathbf{H}_{2n}$$

Condutores Perfeitos ($\mathbf{E}_2 = \mathbf{D}_2 = \mathbf{H}_2 = \mathbf{B}_2 = 0$)

$$\hat{\mathbf{n}} \times \mathbf{E}_1 = 0 \rightarrow \mathbf{E}_{1t} = 0$$

$$\hat{\mathbf{n}} \times \mathbf{H}_1 = \mathbf{J}_s$$

$$\hat{\mathbf{n}} \cdot \mathbf{D}_1 = \rho_s$$

$$\hat{\mathbf{n}} \cdot \mathbf{B}_1 = 0 \rightarrow \mathbf{B}_{1n} = 0$$

- 1844 - Primeira ligação telegráfica (Washington a Baltimore, ≈ 65 km)
- 1850 – Primeiro cabo submarino (Canal de Inglaterra)
- 1858 – Primeiro cabo submarino transatlântico (Irlanda – Terra Nova)
- 1864 – Equações de Maxwell (James Clerk Maxwell)
- 1887 – Detecção (experimental) de OE (Heinrich Hertz)
- 1895 – Primeiras experiências de transmissão de OEs à distância (Guglielmo Marconi)
- 1901 – Primeira radio comunicação transatlântica (entre Poldhu, Cornualha e S. João da Terra Nova) (Marconi)
- 1920 – Primeiras transmissões comerciais de radiodifusão

- 1940 – Primeiras utilizações (práticas) de radar (2ª Guerra Mundial)
- 1944 – Primeiro computador electrónico digital
- 1951 – Primeira emissão comercial de televisão a cores
- 1957 – Primeiro satélite artificial (Sputnik 1, URSS)
- 1962 – Primeiro satélite comercial de comunicações (Telstar 1, EUA)
- 1975 – Primeira ligação comercial por fibra ótica
- 1981 – Primeiro computador pessoal
- 1983 – Sistema GPS para aplicações não militares
- 1991 – Sistema GSM (Europa)

THE ELECTROMAGNETIC SPECTRUM

